

КЛОЧКОВ В.В.  
ЮЛЬМЕТОВ А.Р.  
АГАНОВ А.В.

# МОЛЕКУЛЯРНАЯ ФИЗИКА И ТЕРМОДИНАМИКА

Конспекты лекций для студентов  
нефизических специальностей

КАЗАНЬ 2013

# Содержание

<b>1 Основные положения молекулярно–кинетической теории</b>	<b>3</b>
1.1 Уравнение состояния идеального газа . . . . .	3
1.2 Основное уравнение молекулярно-кинетической теории идеального газа . . . . .	5
1.3 Молекулярно-кинетическое толкование термодинамической температуры . . . . .	6
1.4 Закон Дальтона . . . . .	7
1.5 Барометрическая формула. Распределение Больцмана . . . . .	7
1.6 Закон Максвелла о распределении молекул по скоростям . . . . .	8
1.7 Среднее число столкновений и средняя длина свободного пробега молекул . . . . .	10
<b>2 Явления переноса</b>	<b>12</b>
2.1 Диффузия . . . . .	12
2.2 Теплопроводность . . . . .	13
2.3 Внутреннее трение (вязкость) . . . . .	13
<b>3 Физические основы термодинамики</b>	<b>15</b>
3.1 Термодинамические системы. Равновесные состояния и равновесные процессы . . . . .	15
3.2 Внутренняя энергия идеального газа. Число степеней свободы молекулы. Закон равномерного распределения энергии по степеням свободы	15
3.3 Работа и теплота . . . . .	16
3.4 Первое начало термодинамики (ПНТ) . . . . .	17
3.5 Работа газа при изменении его объема . . . . .	17
3.6 Теплоемкость . . . . .	19
3.7 Применение ПНТ к изопроцессам . . . . .	19
3.7.1 Изохорический процесс . . . . .	19
3.7.2 Изобарический процесс . . . . .	20
3.7.3 Изотермический процесс . . . . .	21
3.7.4 Адиабатический процесс . . . . .	21
3.8 Теплоемкость идеального газа . . . . .	23
3.9 Круговые процессы (циклы) . . . . .	24
3.10 Цикл Карно . . . . .	25
3.11 Энтропия . . . . .	26
3.12 Статистическое представление энтропии . . . . .	27
3.13 Термодинамические потенциалы . . . . .	29
3.14 Второе начало термодинамики (ВНТ) . . . . .	30
3.15 Силы и потенциальная энергия межмолекулярных взаимодействий . .	30
3.16 Уравнение Ван-дер-Ваальса . . . . .	30
3.17 Реальные изотермы . . . . .	32
3.18 Эффект Джоуля-Томсона . . . . .	33

<b>4 Фазы и фазовые переходы</b>	<b>35</b>
4.1 Испарение и конденсация . . . . .	35
4.2 Фазовые диаграммы. Тройная точка . . . . .	36
4.3 Кристаллическое состояние . . . . .	37
4.4 Физические типы кристаллов . . . . .	38
4.5 Тепловое движение кристаллов . . . . .	38
4.6 Теплоемкость кристаллов. Закон Дюлонга и Пти . . . . .	39
4.7 Механизм теплопроводности в кристаллах . . . . .	40
4.8 Строение жидкостей . . . . .	41
4.9 Жидкие кристаллы – мезофаза . . . . .	42

# 1. Основные положения молекулярно-кинетической теории

Согласно молекулярно-кинетическим представлениям любое тело состоит из атомов и молекул.

Число атомов и молекул в любом теле огромно. Например, в 1 м<sup>3</sup> газа при обычных условиях содержится  $\approx 10^{25}$  молекул, а в жидких и твердых телах  $\approx 10^{28}$  молекул.

Физические свойства макроскопических систем, состоящих из большого числа частиц, изучаются двумя взаимно дополняющими методами: *статистическим* и *термодинамическим*.

*Статистический* метод основан на использовании теории вероятностей и определенных моделей строения изучаемых систем.

Раздел физики, в котором с помощью статистического метода изучаются физические свойства макроскопических систем, называется *статистической физикой*.

При *термодинамическом методе* исследования не рассматривается внутреннее строение изучаемых тел, а анализируются условия и количественные соотношения при различных превращениях энергии, происходящих в системе.

Раздел физики, в котором физические свойства макроскопических систем изучаются с помощью термодинамического метода, называется *термодинамикой*.

*Состояние системы* задается термодинамическими параметрами (параметрами состояния). Обычно в качестве параметров состояния выбирают: объем  $V$ , м<sup>3</sup>; давление  $p$ , Па, ( $p = dF_n/dS$ , где  $dF_n$  — модуль нормальной силы, действующей на малый участок поверхности тела площадью  $dS$ , 1 Па = 1 Н / 1 м<sup>2</sup>); термодинамическую температуру  $T$ , К ( $T = 273,15 + t$ ).

## 1.1. Уравнение состояния идеального газа

*Идеальным* называется газ, молекулы которого не взаимодействуют друг с другом на расстоянии.

При нормальных условиях, т.е. давлении  $p_0 = 1,013 \cdot 10^5$  Па (760 мм ртутного столба) и температуре  $T_0 = 273,15$  К ( $t = 0^\circ\text{C}$ ) многие газы (H<sub>2</sub>, O<sub>2</sub>, N<sub>2</sub>, воздух и др.) можно считать с хорошим приближением идеальными.

Эффективные диаметры  $d$  молекул различных газов имеют величины порядка 10<sup>-10</sup> м и при нормальных условиях концентрация молекул  $n = N/V \approx 10^{-25}$  м<sup>-3</sup>, то среднее расстояние между молекулами  $\langle r \rangle \approx \sqrt[3]{n^{-1}} \approx 10^{-8}$  м, велико по сравнению с  $d$ , поэтому силами притяжения можно пренебречь.

*Опытным путем* было установлено, что при обычных условиях параметры состояния газов подчиняются уравнению Клапейрона

$$pV/T = B = \text{const.} \quad (1)$$

Идеальный газ строго подчиняется уравнению (1), которое, является *уравнением состояния идеального газа*.

Согласно закону Авогадро, при нормальных условиях объем моля любого газа равен  $V_0 = 22,4$  л/моль =  $22,4 \cdot 10^{-3}$  м<sup>3</sup>/моль.

Один моль любого газа содержит одно и то же число молекул  $N_A = 6,02 \cdot 10^{23}$  моль $^{-1}$ , называемое *постоянной Авогадро*. Массу моля обозначают буквой  $M$ . Если  $m_0$  — масса одной молекулы, то масса моля или молярная масса

$$M = m_0 N_A. \quad (2)$$

Для кислорода  $O_2$   $M = 0,032$  кг/моль, для азота  $N_2$   $M = 0,028$  кг/моль. Подставляя эти значения в (1) и обозначая  $B$  для одного моля как  $R$ , находим

$$R = p_0 V_0 / T_0 = 1,013 \cdot 10^5 \cdot 22,4 \cdot 10^{-3} / 273,15 = 8,31 \text{ Дж/моль} \cdot \text{К}. \quad (3)$$

Константу  $R$  называют универсальной газовой постоянной. Тогда для одного моля газа

$$pV = RT. \quad (4)$$

Для произвольной массы  $m$  газа можно переписать (4) в виде

$$pV = \frac{m}{M} RT \quad \text{или} \quad pV = \nu RT, \quad (5)$$

где  $\nu = m/M$  — число молей. Очевидно, что

$$\nu = N/N_A, \quad (6)$$

где  $N$  — число молекул, содержащихся в массе газа  $m$ . Уравнение (5) называется *уравнением Клапейрона-Менделеева*.

Введем постоянную Больцмана

$$k = R/N_A. \quad (7)$$

Тогда из уравнения (5) получаем

$$pV = \frac{N}{N_A} RT = NkT, \quad (8)$$

Разделив обе части этого уравнения на объем газа  $V$  получим

$$p = nkT, \quad (9)$$

где  $n = N/V$  — концентрация молекул, м $^{-3}$ .

Под *термодинамическим процессом* понимают всякое изменение состояния системы, характеризующееся изменением ее термодинамических параметров  $p, V, T$ .

Примеры простейших термодинамических процессов:

1. Изотермический процесс  $T = \text{const}, pV = \text{const}$ .
2. Изобарический процесс  $p = \text{const}, V = C_1 T$ .
3. Изохорический процесс  $V = \text{const}, P = C_2 T$ .
4. Адиабатический процесс, происходящий без теплообмена между системой и внешней средой.

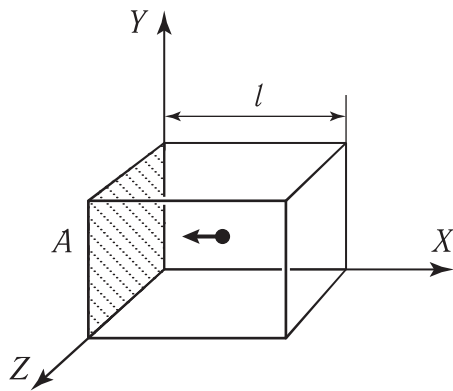


Рис. 1

## 1.2. Основное уравнение молекулярно-кинетической теории идеального газа

Пусть в сосуде в виде куба со стороной  $l$  находится  $N$  молекул. Молекула движется в одном из 6 возможных направлений, например параллельно оси  $X$  со скоростью  $v$ . Ударяясь о стенку  $A$  куба молекула оказывает на него давление. Найдем его (рисунок 1). Согласно второму закону Ньютона сила давления

$$\mathbf{F} = \frac{d\mathbf{p}}{dt},$$

где

$$d\mathbf{p} = \mathbf{p}_2 - \mathbf{p}_1 = m_0 \mathbf{v}_2 - m_0 \mathbf{v}_1.$$

Предполагая, что происходит абсолютно упругий удар, имеем  $\mathbf{v}_1 = \mathbf{v}_2 = \mathbf{v}$  (рисунок 2). Изменение импульса

$$dp = m_0 v_2 - (-m_0 v_1) = 2m_0 v.$$

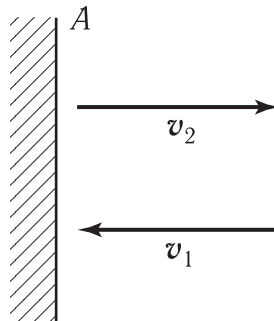


Рис. 2

Молекула вернется в исходное состояние (в центр куба) спустя время

$$dt = \left( \frac{l}{2} + \frac{l}{2} \right) / v = l / v.$$

В итоге получаем

$$F = \frac{dp}{dt} = \frac{2m_0v^2}{l}. \quad (10)$$

Если число молекул в сосуде  $N$ , то к стенке  $A$  движется в среднем  $N/6$  молекул и они создают среднюю силу давления на стенку

$$\langle F \rangle = \frac{NF}{6} = \frac{Nm_0 \langle v^2 \rangle}{3l}, \quad (11)$$

где  $\langle v^2 \rangle$  — средний квадрат скорости молекул.

Давление, оказываемое на стенку сосуда, площадь которой  $S = l^2$ ,

$$p = \frac{\langle F \rangle}{S} = \frac{Nm_0 \langle v^2 \rangle}{3l^3}. \quad (12)$$

Учитывая, что  $N/l^3 = N/V = n$ , т.е. равно концентрации молекул, а также, что

$$\frac{m_0 \langle v^2 \rangle}{2} = \langle W_k \rangle \quad (13)$$

— средняя кинетическая энергия поступательного движения молекулы газа. Основное уравнение молекулярно-кинетической теории идеального газа

$$p = \frac{2N}{3V} \frac{m_0 \langle v^2 \rangle}{2} = \frac{2}{3}n \langle W_k \rangle. \quad (14)$$

### 1.3. Молекулярно-кинетическое толкование термодинамической температуры

Учитывая, что  $n = N/V = N_A(m/M)/V$ , где  $V$  — объем газа, тогда

$$pV = \frac{2}{3}N_A \frac{m}{M} \langle W_k \rangle. \quad (15)$$

Согласно уравнению Клапейрона-Менделеева  $pV = (m/M)RT$ , откуда

$$\langle W_k \rangle = \frac{3}{2}kT. \quad (16)$$

Таково молекулярно-кинетическое толкование *термодинамической температуры*.

Учитывая, что

$$\langle W_k \rangle = \frac{m_0 \langle v^2 \rangle}{2},$$

где  $\langle v^2 \rangle = (v_1^2 + v_2^2 + \dots + v_N^2)/N$  — средний квадрат скорости молекул газа, из (16) находим среднюю квадратичную скорость

$$v_{\text{ср.кв.}} = \sqrt{\langle v^2 \rangle} = \sqrt{\frac{3kT}{m_0}} = \sqrt{\frac{3RT}{M}}.$$

## 1.4. Закон Дальтона

Было показано, что  $P = nkT$ , если  $n = n_1 + n_2 + \dots + n_i$ , то

$$p = nkT = (n_1 + n_2 + \dots + n_i) kT = p_1 + p_2 + \dots + p_i,$$

где  $p_i$  — парциальное давление.

## 1.5. Барометрическая формула. Распределение Больцмана

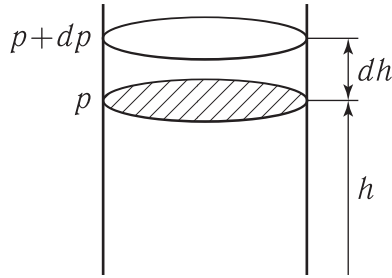


Рис. 3

Рассмотрим газ в сосуде. Если атмосферное давление на высоте  $h$  равно  $p$ , то на высоте  $h+dh$  оно равно  $p+dp$  (при  $dh > 0$   $dp < 0$ , т.к. давление с высотой убывает).

Разность давлений  $p$  и  $p+dp$  равна весу газа, заключенного в объеме цилиндра высотой  $dh$  с основанием  $1 \text{ м}^2$ :

$$p - (p + dp) = \rho g dh,$$

где  $\rho$  — плотность газа.

Следовательно,

$$dp = -\rho g dh. \quad (17)$$

Воспользовавшись уравнением

$$pV = \frac{m}{M}RT,$$

находим, что

$$\rho = \frac{m}{V} = \frac{pM}{RT}.$$

Подставив это выражение в (17), получим

$$dp = -\frac{Mg}{RT}p dh.$$

Или

$$\frac{dp}{p} = -\frac{Mg}{RT}dh. \quad (18)$$

Интегрируя (18) от  $h = 0$  до  $h$  находим,

$$\ln p - \ln p_0 = \frac{Mgh}{RT}.$$

Проведя потенцирование получим барометрическую формулу:

$$p = p_0 e^{-Mgh/RT} = p_0 e^{-m_0 gh/kT}, \quad (19)$$

где  $m_0 = M/N_A$ ,  $k = R/N_A$ .

Формулу (19) можно преобразовать, если воспользоваться выражением (9)  $p = nkT$ :

$$n = n_0 e^{-Mgh/RT} = n_0 e^{-m_0 gh/kT}, \quad (20)$$

где  $m_0 gh = W_{\text{п}}$  — потенциальная энергия молекулы в поле тяготения, тогда

$$n = n_0 e^{-W_{\text{п}}/kT}. \quad (21)$$

Больцман доказал, что формула (21) справедлива в случае потенциального поля любой природы.

## 1.6. Закон Максвелла о распределении молекул по скоростям

В газе, находящемся в состоянии равновесия, установится некоторое стационарное распределение молекул по скоростям, которое подчиняется *статистическому закону*. Закон был теоретически выведен *Максвеллом* в 1859 г.

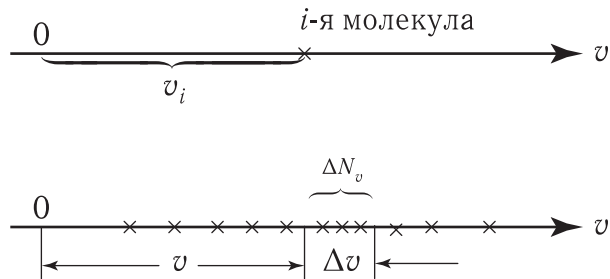


Рис. 4

При выводе этого закона Максвелл предполагал, что газ состоит из очень большого числа  $N$  тождественных молекул, находящихся в состоянии теплового движения при одинаковой температуре.

Закон Максвелла описывается некоторой функцией  $F(v)$ , называемой функцией распределения молекул по скоростям:

$$F(v) = \left( \frac{m_0}{2\pi kT} \right)^{3/2} \exp\left(-\frac{mv^2}{2kT}\right) \cdot 4\pi v^2. \quad (22)$$

Функция  $F(v)$  характеризует плотность вероятности того, что скорость молекулы равна  $v$  и поэтому эта функция удовлетворяет условию нормировки

$$\int_0^{+\infty} F(v) dv = 1. \quad (23)$$

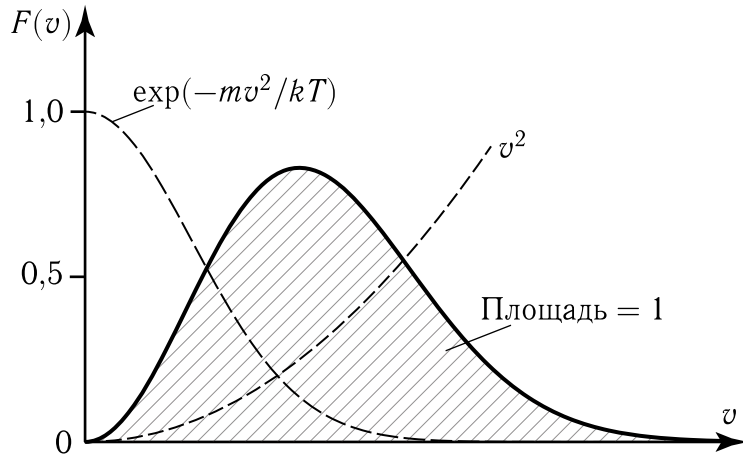


Рис. 5

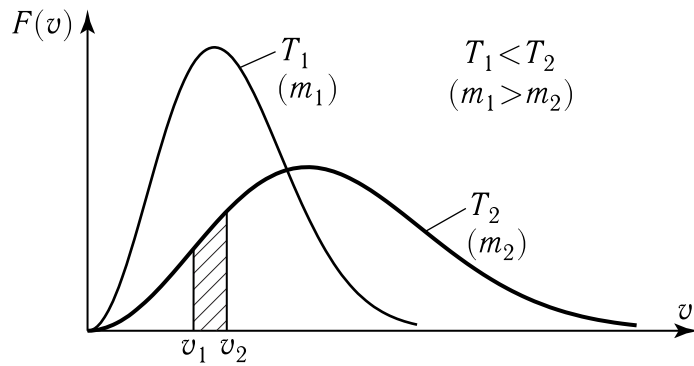


Рис. 6

Анализ показывает, что вид функции зависит от массы молекулы  $m_0$  и от температуры  $T$ . Характерно, что  $F(v)$ , начинаясь от нуля, достигает максимума при  $v_b$  и затем стремится к нулю.

Используя функцию распределения, можно найти число молекул  $\Delta N/N$ , скорости которых лежат в интервале от  $v_1$  до  $v_2$

$$\Delta N/N = \int_{v_1}^{v_2} F(v) dv, \quad (24)$$

которое находится как площадь полоски (рисунок 6).

Скорость, при которой функция распределения молекул по скоростям максимальна, называется наиболее вероятной скоростью  $v_b$ . Исследование (22) на максимум позволило найти наиболее вероятную скорость молекул

$$v_b = \sqrt{2kT/m_0} = \sqrt{2RT/M}. \quad (25)$$

Кроме наиболее вероятной и средней квадратичной скорости молекул газа, используется также средняя скорость молекул  $\langle v \rangle$  или средняя арифметическая ск

рость. Она определяется по формуле

$$\langle v \rangle = \int_0^{+\infty} v F(v) dv.$$

Подставляя  $F(v)$  (см. выражение 22) и интегрируя, получим

$$\langle v \rangle = \sqrt{8kT/\pi m_0} = \sqrt{8RT/\pi M}. \quad (26)$$

Можно показать (рисунок 7), что значения этих скоростей относятся друг к другу как:

$$v_B : \langle v \rangle : v_{\text{ср.кв.}} = \sqrt{2} : \sqrt{8/\pi} : \sqrt{3} = 1 : 1,13 : 1,22.$$

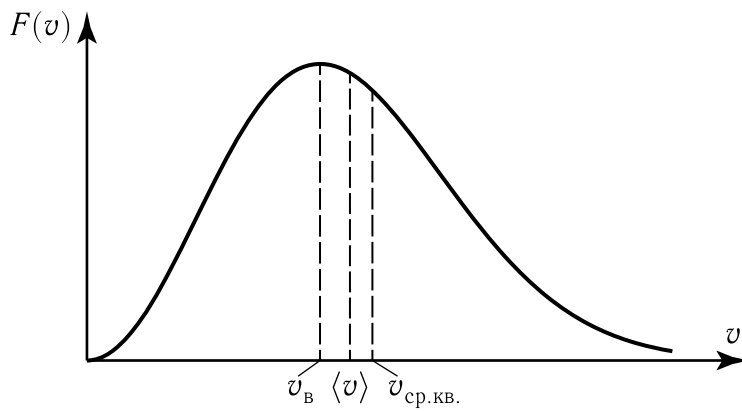


Рис. 7

*Средняя и средняя квадратичная* скорости превышают *наиболее вероятную* скорость на 13% и 22% соответственно.

Исходя из распределения молекул по скоростям (22), можно найти распределение молекул газа по кинетическим энергиям поступательного движения молекул  $W_k = m_0 v^2 / 2$ .

Это распределение характеризуется функцией  $f(W_k)$ , которая вводится аналогично  $F(v)$

$$f(W_k) = \frac{dN(W_k)}{N \cdot dW_k} = 2\pi^{-1/2} (kT)^{-3/2} W_k^{1/2} e^{-W_k/kT}. \quad (27)$$

## 1.7. Среднее число столкновений и средняя длина свободного пробега молекул

Молекулы газа, находясь в состоянии хаотического движения, непрерывно сталкиваются друг с другом.

Между двумя последовательными столкновениями молекулы проходят некоторое расстояние  $\lambda$  которое называется *длиной свободного пробега* молекул. В кинетической теории вводится понятие *средней длины свободного пробега* молекул  $\langle \lambda \rangle$ .

Будем считать, что молекулы представляют собой шарики некоторого диаметра  $d$  порядка  $10^{-10}$  м, зависящего от природы газа.

Двигаясь со средней скоростью  $\langle v \rangle$ , молекула столкнется только с теми молекулами, центры которых находятся в цилиндре радиуса  $d$ .

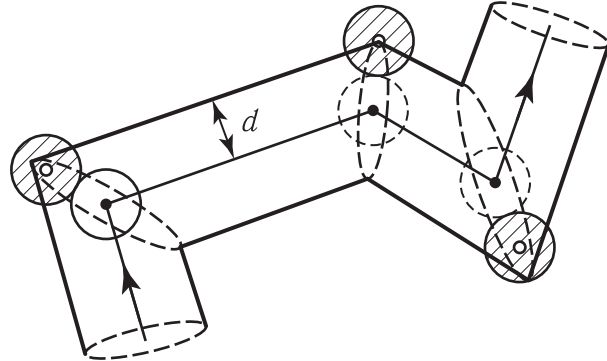


Рис. 8

Среднее число столкновений  $\langle z \rangle$  (с неподвижными молекулами) за время  $\Delta t$  равно числу молекул внутри цилиндра, диаметра  $2d$  и длины  $\langle v \rangle \Delta t$ , т.е.

$$\langle z \rangle = \pi d^2 \langle v \rangle \Delta t n,$$

где  $n$  — концентрация молекул.

С учетом движения других молекул

$$\langle z \rangle = \sqrt{2} \pi d^2 \langle v \rangle \Delta t n. \quad (28)$$

Средняя длина свободного пробега

$$\langle \lambda \rangle = \langle v \rangle \Delta t / \langle z \rangle = 1 / (\sqrt{2} \pi d^2 n),$$

т.е. обратно пропорциональна концентрации молекул (или давлению  $p$  т.к.  $p = nkT$ ).

Можно сказать, что при нормальных условиях  $\langle \lambda \rangle = 10^{-7}$  м и число столкновений за 1 секунду  $\langle z \rangle / \Delta t = 1 \cdot 10^{10}$  с<sup>-1</sup>.

## 2. Явления переноса

Беспорядочность теплового движения молекул газа приводят к изменению скоростей и энергий частиц. Если в газе существует пространственная неоднородность плотности, температуры, скорости перемещения отдельных слоев, то происходит самопроизвольное выравнивание этих неоднородностей. В газе возникают потоки вещества, энергии, импульса упорядоченного движения молекул.

Эти потоки, характерные для неравновесных состояний газа, являются физической основой особых процессов, объединенных общим названием «явления переноса». К этим явлениям относятся диффузия, теплопроводность и внутреннее трение.

### 2.1. Диффузия

Это *перенос массы* из мест с большей плотностью  $\rho$  к местам с меньшей плотностью.

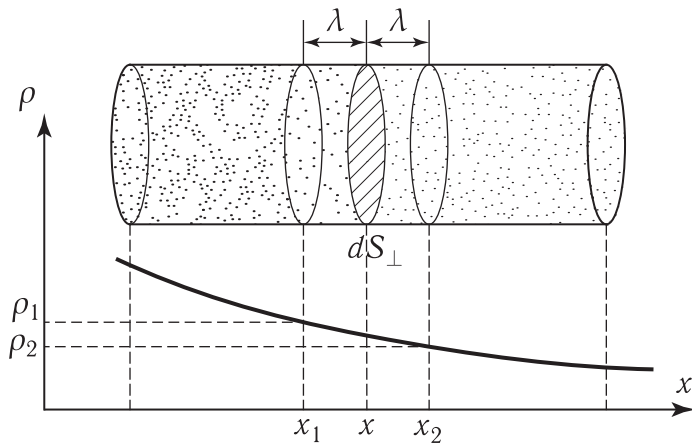


Рис. 9

Фик (1855 г) установил, что перенесенная масса  $dm$  через расположенную перпендикулярно направлению переноса вещества площадку  $dS_{\perp}$  за время  $dt$

$$dm = -D(d\rho/dx)dS_{\perp}dt, \quad (29)$$

где  $d\rho/dx$  характеризует скорость изменения плотности  $\rho$  на единицу длины  $x$ ,  $D$  — коэффициент диффузии.

Можно показать, что для газов

$$D = (1/3) \langle v \rangle \langle \lambda \rangle. \quad (30)$$

Знак минус в (29) указывает, что перенос массы при диффузии происходит в направлении убывания плотности, т.е. вдоль оси  $0X$ , если  $\rho_1 > \rho_2$  ( $d\rho/dx < 0$ ).

## 2.2. Теплопроводность

Это перенос теплоты (внутренней энергии) от более нагретых мест к менее нагретым местам.

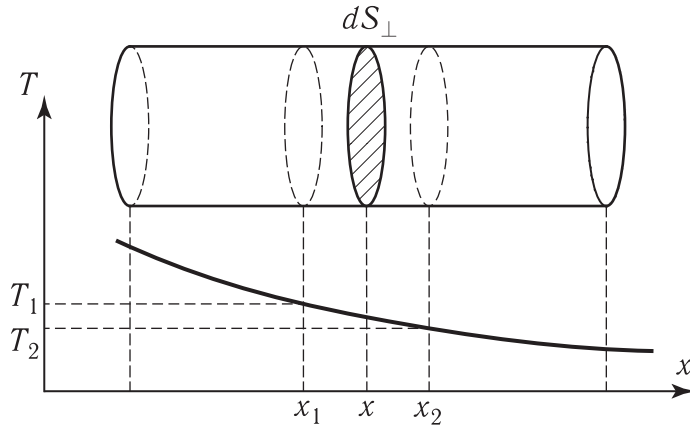


Рис. 10

Фурье (1822 г.) установил, что количество теплоты  $dQ$ , которое переносится вследствие теплопроводности через площадку  $dS_{\perp}$  за время  $dt$

$$dQ = -\chi(dT/dx)dS_{\perp}dt, \quad (31)$$

где  $dT/dx$  характеризует скорость изменения температуры  $T$  на единицу длины  $x$ ,  $\chi$  — коэффициент теплопроводности.

Можно показать, что для газов

$$\chi = (1/3)\langle v \rangle \langle \lambda \rangle c_V \rho. \quad (32)$$

где  $c_V$  — удельная теплоемкость при постоянном объеме газа. Знак минус в (31) указывает, что при теплопроводности перенос внутренней энергии происходит в направлении убывания температуры, т. е. вдоль оси  $OX$ , если  $T_2 > T_1$  ( $DT/dx < 0$ ).

## 2.3. Внутреннее трение (вязкость)

Оно возникает между слоями жидкости или газа, движущимися упорядоченно с различными скоростями  $u$ .

Из-за хаотического теплового движения происходит обмен молекулами между слоями. В результате этого импульс слоя, движущегося быстрее, уменьшается, а движущегося медленнее — увеличивается, что приводит к торможению слоя, движущегося быстрее и ускорению слоя, движущегося медленнее.

Согласно закону Ньютона (1687 г.) сила внутреннего трения между слоями газа

$$F = -\eta(du/dx)D, \quad (33)$$

где  $du/dx$  характеризует быстроту изменения скорости  $u$  на единицу длины  $x$ ,  $S$  — площадь, на которую действует сила (площадка  $S$  перпендикулярна  $x$ ),  $\eta$  — коэффициент внутреннего трения (динамическая вязкость).

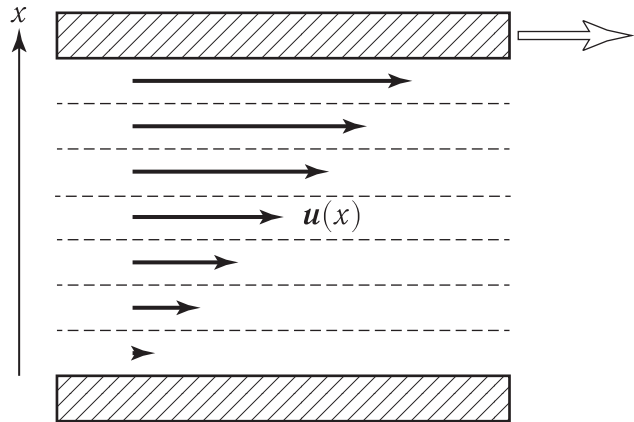


Рис. 11

Можно показать, что

$$\eta = (1/3) \langle v \rangle \langle \lambda \rangle \rho. \quad (34)$$

Знак минус в (33) указывает, что импульс переносится в направлении убывания скорости слоев  $u$ .

Анализ формул (30), (32), (34) показывает, что

$$\eta = \rho D \quad \chi = \eta c_v. \quad (35)$$

Используя эти формулы, можно по найденным из опыта одним величинам, определить другие.

### **3. Физические основы термодинамики**

Термодинамика как и молекулярная физика занимается изучением физических процессов, происходящих в макроскопических системах, взаимодействующих друг с другом и внешними телами.

В основе термодинамики лежат принципы, являющиеся обобщением опытных данных: *принцип температуры* (часто называемый нулевым началом термодинамики), *принцип энергии* (I начало), *принцип энтропии* (II начало) и *постулат Нернста* (III начало термодинамики)

#### **3.1. Термодинамические системы. Равновесные состояния и равновесные процессы**

Будем называть *термодинамической системой* любое макроскопическое тело, находящееся в равновесном состоянии.

Состояния любой термодинамической системы могут быть заданы с помощью ряда параметров, например, для газа  $P, V, T$ , для жидкости —  $\alpha$  (коэффициент поверхностного натяжения),  $T$  и.т.д.

Состояния системы, при котором температура или давление меняется от точки к точке, называются *неравновесными*.

Процесс перехода термодинамической системы из неравновесного состояния в равновесное, называется *процессом релаксации*, он характеризуется *временем релаксации*.

Сформулированный признак термодинамических систем настолько важен, что он получил название *нулевого начала термодинамики*. По существу, нулевое начало термодинамики постулирует существование температуры.

#### **3.2. Внутренняя энергия идеального газа. Число степеней свободы молекулы. Закон равномерного распределения энергии по степеням свободы**

Важной характеристикой термодинамической системы является ее *внутренняя энергия*  $U$  — энергия хаотического (теплового) движения микрочастиц системы (молекул, атомов, электронов, ядер и т.д.) и энергия взаимодействия этих частиц.

*Число степеней свободы*  $i$ : это число независимых координат, полностью определяющих положение тела в пространстве. Так, например, положение материальной точки определяется тремя координатами  $(x, y, z)$ , следовательно,  $i = 3$ . Тонкий стержень имеет 5 степеней свободы  $(x, y, z, \theta, \varphi)$ , т.е. 3 поступательные и 2 вращательные, твердое тело имеет 6 степеней свободы  $(x, y, z, \theta, \varphi, \psi)$ , т.е. 3 поступательные и 3 вращательные.

Для одноатомных молекул газа ( $\text{He}, \text{Ne}, \text{Ar}$ )  $i = 3$ , двухатомных молекул ( $\text{H}_2, \text{O}_2, \text{N}_2$ ) с жесткой связью атомов  $i = 5$ , трех- и более атомных молекул газа с жесткой связью атомов ( $\text{CO}_2, \text{NH}_3$ )  $i = 6$ .

Атомы могут совершать колебания (рисунок 12). Полное число степеней свободы  $i$  будет равно  $\sum = i + 2i_{\text{колеб}}$ . В классической теории рассматривают молекулы с жесткой связью атомов, для них  $i_{\text{колеб}} = 0$ .

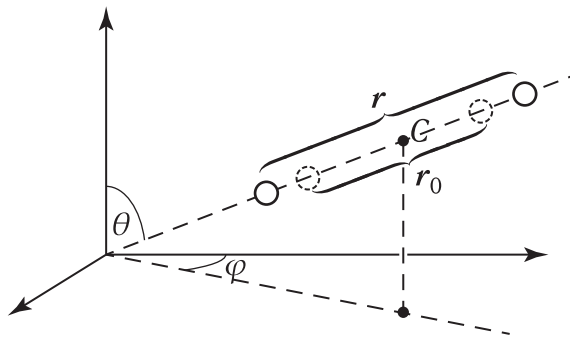


Рис. 12

Независимо от числа степеней свободы молекул три степени свободы всегда поступательные. На каждую из них приходится в среднем энергия, равная  $1/3$  значения  $\langle W_k \rangle$ , т.е.

$$\frac{\langle W_k \rangle}{3} = \frac{kT}{2}.$$

Закон равномерного распределения энергии по степеням свободы — утверждает: *на каждую степень свободы молекулы в среднем приходится одинаковая кинетическая энергия, равная  $kT/2$ .*

Следовательно, средняя кинетическая энергия молекулы, имеющей  $i$  степеней свободы,

$$\langle W_k \rangle = \frac{i}{2}kT. \quad (36)$$

В идеальном газе внутренняя энергия  $U$  представляет собой кинетическую энергию его молекул.

Для одного моля

$$U = \langle W_k \rangle N_A = \frac{i}{2}kTN_A = \frac{i}{2}RT, \quad (37)$$

для произвольной массы  $m$  газа

$$U = \frac{m}{M} \frac{i}{2}RT = \nu \frac{i}{2}RT, \quad (38)$$

где  $M$  — масса моля,  $\nu = m/M$  — число молей.

### 3.3. Работа и теплота

*Внутренняя энергия* закрытой системы может изменяться различными способами:

- а) путем *совершения работы* внешними телами над системой;
- б) путем *теплообмена*, т.е. процесса обмена внутренними энергиями при контакте тел с различными температурами.

*Энергию*, передаваемую от одних тел к другим в процессе теплообмена, называют *теплотой*.

Таким образом, можно говорить о *двух формах передачи* энергии от одних тел к другим: *работе и теплоте*. Энергия механического движения может превращаться в энергию теплового движения и наоборот.

Применительно к термодинамическим процессам этим законом и является *первое начало термодинамики*, установленное в результате обобщения многовековых опытных данных.

### 3.4. Первое начало термодинамики (ПНТ)

Допустим, что некоторая термодинамическая система (например, газ, заключенный в цилиндр под поршнем), обладая *внутренней энергией*  $U_1$ , получила некоторое *количество теплоты*  $Q$  и, перейдя в новое состояние, характеризующееся внутренней энергией  $U_2$ , совершила работу  $A$  над внешней средой, т.е. против внешних сил. В этом случае

$$Q = U_2 - U_1 + A$$

или

$$Q = \Delta U + A. \quad (39)$$

Уравнение (39) выражает *первое начало термодинамики*: теплота, сообщаемая системе, расходуется на изменение ее внутренней энергии и на совершение ею работы против внешних сил.

Для малых процессов выражение (39) записывают в дифференциальной форме

$$dQ = dU + dA$$

или в более корректной форме

$$\delta Q = dU + \delta A, \quad (40)$$

поскольку только  $dU$  является полным дифференциалом, а  $\delta Q$  и  $\delta A$  полными дифференциалами не являются.

Из формулы (39) следует, что в СИ количество теплоты выражается в тех же единицах, что работа и энергия, т.е. в джоулях (Дж).

Если система периодически возвращается в первоначальное состояние, то изменение ее внутренней энергии  $\Delta U = 0$ . Согласно (39)  $A = Q$ , т.е. *вечный двигатель первого рода* не возможен.

### 3.5. Работа газа при изменении его объема

Найдем работу, совершаемую газом при изменении его объема,

$$\delta A = Fdl = pSdl = pdV,$$

где  $S$  — площадь поршня,  $Sdl = dV$  — изменение объема газа.

Таким образом,

$$\delta A = pdV. \quad (41)$$

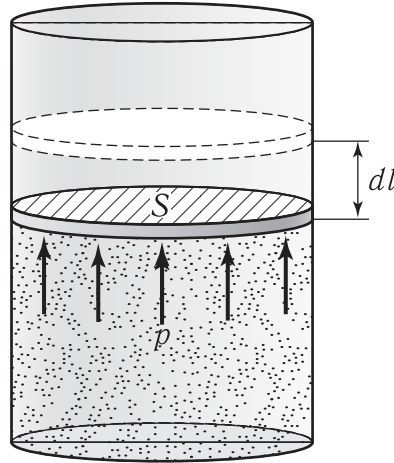


Рис. 13

Полная работа при расширении газа от объема  $V_1$  до объема  $V_2$

$$A_{12} = \int_{V_1}^{V_2} pdV. \quad (42)$$

Графически она изображается площадью фигуры, лежащей под кривой  $p(V)$ . Т.е., работа зависит от всего хода процесса.

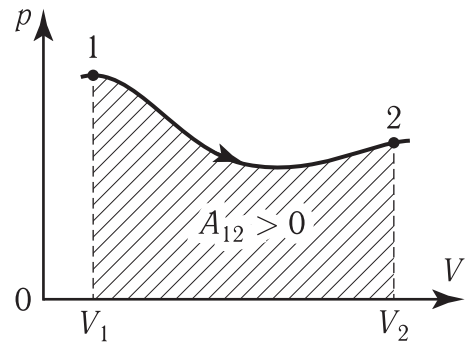


Рис. 14

Интеграл (42) зависит от пути, по которому газ переходит из состояния 1 в состояние 2, и поэтому подынтегральное выражение не является полным дифференциалом какой-либо функции состояния газа. С учетом ((41) ПНТ можно представить в другой форме

$$\delta Q = dU + pdV. \quad (43)$$

### 3.6. Теплоемкость

*Удельная теплоемкость* вещества — величина, равная количеству теплоты, необходимому для нагревания 1 кг вещества на 1 К:

$$c = \frac{\delta Q}{m dT}. \quad (44)$$

*Молярная теплоемкость* — величина, равная количеству теплоты, необходимому для нагревания 1 моля вещества на 1 К:

$$C = \frac{\delta Q}{\nu dT}, \quad (45)$$

где  $\nu = m/M$  — количество молей вещества.

### 3.7. Применение ПНТ к изопроцессам

#### 3.7.1. Изохорический процесс

$V = \text{const}$ . Диаграмма этого процесса (изохора) на рисунке 15. Процесс 1–2 соответствует нагреванию, а процесс 2–1 — охлаждению газа. При изохорическом процессе газ не совершает работы:

$$\delta A = pdV = 0$$

и вся теплота, сообщаемая газу, идет на увеличение его внутренней энергии, т.е.

$$\delta Q = dU$$

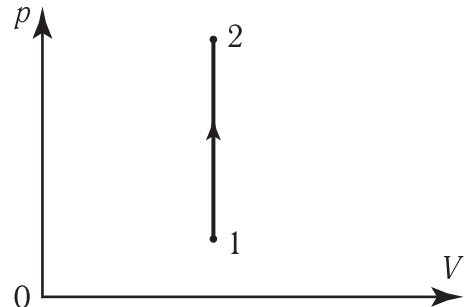


Рис. 15

Согласно формуле (38) для произвольной массы газа

$$U = \frac{m}{M} \frac{i}{2} RT = \nu \frac{i}{2} RT$$

и поэтому

$$\delta Q = dU = \frac{m}{M} \frac{i}{2} R dT = \nu \frac{i}{2} R dT, \quad (46)$$

и молярная теплоемкость при постоянном объеме

$$C_V = \frac{\delta Q}{\nu dT} = \frac{iR}{2}. \quad (47)$$

Таким образом,

$$\delta Q = dU = \nu C_V dT. \quad (48)$$

### 3.7.2. Изобарический процесс

$P = \text{const}$ . Диаграмма этого процесса (изобара) на рисунке 16. Он осуществляется при нагревании (процесс 1–2) или охлаждении (процесс 2–1) газа, находящегося в цилиндре с подвижным поршнем, на который действует постоянное внешнее давление.

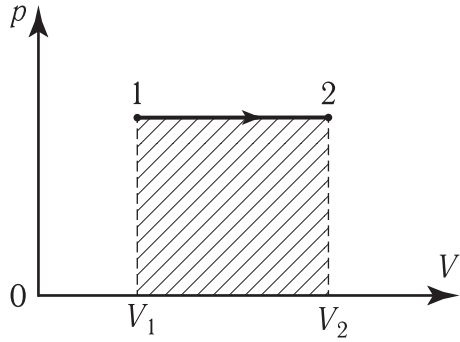


Рис. 16

Учитывая, что для произвольной массы газа

$$U = \frac{i}{2}vRT, \quad pV = vRT,$$

запишем ПНТ в дифференциальной форме для изобарического процесса:

$$\delta Q = dU + \delta A = \frac{i}{2}vRdT + vRdT. \quad (49)$$

Молярная теплоемкость при постоянном давлении

$$C_p = \frac{\delta Q}{vdT} = \frac{iR}{2} + R = C_V + R. \quad (50)$$

Выражение

$$C_p = C_V + R \quad (51)$$

называется *уравнением Майера*; оно показывает, что  $C_p$  всегда больше  $C_V$  на величину *универсальной газовой постоянной*  $R$ .

Таким образом, *физический смысл* универсальной газовой постоянной  $R$ : она численно равна работе, совершаемой одним молем идеального газа при его изобарическом нагревании на 1 К.

С учетом (50) первое начало термодинамики для изобарического процесса имеет вид

$$\delta Q = vC_pdT. \quad (52)$$

кроме того,

$$dU = vC_VdT, \quad \delta A = vRdT.$$

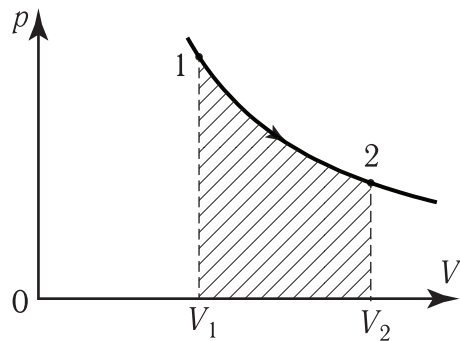


Рис. 17

### 3.7.3. Изотермический процесс

$T = \text{const}$ . Например, процессы кипения, конденсации, плавления и кристаллизации химически чистых веществ происходят при постоянной температуре, если внешнее давление постоянно.

Для идеального газа при  $T = \text{const}$  выполняется закон Бойля–Мариотта

$$pV = \text{const}.$$

Диаграмма изотермического процесса (*изотерма*) на рисунке 17.

Внутренняя энергия идеального газа в изотермическом процессе не изменяется, т.е.

$$dU = \nu C_V dT = 0,$$

так как  $T = \text{const}$  и  $dT = 0$ .

Таким образом, из ПНТ

$$\delta Q = dU + \delta A$$

следует, что  $\delta Q = \delta A$ , т.е. вся теплота, сообщаемая газу, расходуется на совершение им *работы* против внешних сил:

$$Q_{12} = A_{12} = \int_{V_1}^{V_2} pdV = \nu RT \int_{V_1}^{V_2} \frac{dV}{V} = \nu RT \ln \frac{V_2}{V_1}, \quad (53)$$

где  $\nu = m/M$  — число молей.

Процесс 1–2 (см. рисунок 17) соответствует изотермическому расширению газа, в этом случае  $Q_{12} > 0$  и  $A_{12} > 0$ . Обратный процесс 2–1 соответствует изотермическому сжатию газа, для него  $Q_{12} < 0$  и  $A_{12} < 0$ .

### 3.7.4. Адиабатический процесс

Это процесс, при котором отсутствует теплообмен ( $\delta Q = 0$ ) между системой и окружающей средой. Из ПНТ ( $\delta Q = dU + \delta A$ ) для адиабатического процесса следует  $\delta A = -dU$  т.е. внешняя работа совершается за счет уменьшения внутренней энергии системы.

Учитывая, что  $dU = \nu C_V dT$ , работа расширения газа от объема  $V_1$  до  $V_2$  (температура газа уменьшается от  $T_1$  до  $T_2$ ):

$$A_{12} = -\nu C_V \int_{T_1}^{T_2} dT = \nu C_V (T_1 - T_2) . \quad (54)$$

Для адиабатического процесса (один моль) ПНТ:

$$C_V dt + pdV = 0. \quad (55)$$

Заменив в (55)  $p = (\nu RT)/V$  получим

$$C_V dT + \frac{RTdV}{V} = 0,$$

или

$$\begin{aligned} \frac{dT}{T} + \frac{R}{C_V} \frac{dV}{V} &= 0; \\ d\left(\ln T + \frac{R}{C_V} \ln V\right) &= 0; \end{aligned}$$

откуда

$$\ln T + \frac{R}{C_V} \ln V = \text{const};$$

заменим  $C_p - C_V = R$ , а  $R/C_V = \gamma - 1$ , где

$$\gamma = C_p/C_V$$

получим

$$TV^{\gamma-1} = \text{const} \quad \text{или} \quad pV^\gamma = \text{const}. \quad (56)$$

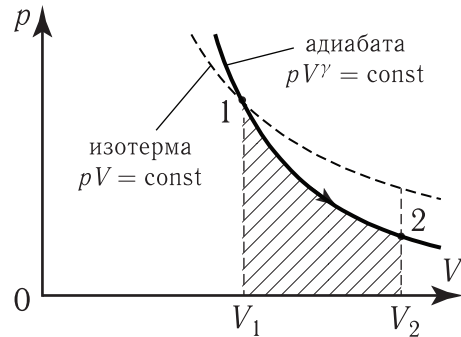


Рис. 18

Это уравнение называют уравнением Пуассона, где

$$\gamma = \frac{C_p}{C_V} = \frac{i+2}{i}$$

— показатель адиабаты (коэффициент Пуассона).

$pV$  линия, изображающая адиабатический процесс (рисунок 18), называется адиабатой. Так как  $\gamma > 1$ , то адиабата идет круче, чем изотерма, уравнение которой  $pV = \text{const}$ . Процесс 1–2 — адиабатическое расширение газа. В этом случае  $\delta A > 0$ ,  $dU > 0$ . Процесс 2–1 — адиабатическое сжатие газа. В этом случае  $\delta A < 0$ ,  $dU < 0$ .

### 3.8. Теплоемкость идеального газа

Молярные теплоемкости равны:

$$C_V = \left( \frac{\delta Q}{\nu dT} \right)_V = \frac{i}{2} R,$$

$$C_p = \left( \frac{\delta Q}{\nu dT} \right)_p = \frac{i}{2} R + R = \frac{i+2}{2} R, \text{ а}$$

$$\gamma = \frac{C_p}{C_V} = \frac{i+2}{i}.$$

Молекула	Характер связи между атомами	Число степеней свободы			$i$	$C_V$	$C_p$	$\gamma$
		поступат.	вращат.	колебат.				
Одноатомная	—	3	—	—	3	$\frac{3}{2}R$	$\frac{5}{2}R$	1,67
Двухатомная	Жесткая	3	2	—	5	$\frac{5}{2}R$	$\frac{7}{2}R$	1,40
	Упругая	3	2	1	7	$\frac{7}{2}R$	$\frac{9}{2}R$	1,29
С числом атомов три и более	Жесткая	3	3	—	6	$\frac{6}{2}R$	$\frac{8}{2}R$	1,33

Газ	Атомов в молекуле	$C_V \cdot 10^{-3}$		$C_p \cdot 10^{-3}$		$\gamma$	
		теор.	эксп.	теор.	эксп.	теор.	эксп.
Гелий (He)	1	12,5	12,5	20,8	20,9	1,67	1,67
Кислород O <sub>2</sub>	2	20,8	20,9	29,1	28,9	1,40	1,40
Окись углерода (CO)	2	20,8	21,0	29,1	29,3	1,40	1,40
Пары воды (H <sub>2</sub> O)	3	25,0	27,8	33,2	36,2	1,33	1,31

Экспериментальная зависимость теплоемкости для молекулярного водорода (H<sub>2</sub>) приведена на рисунке 19.

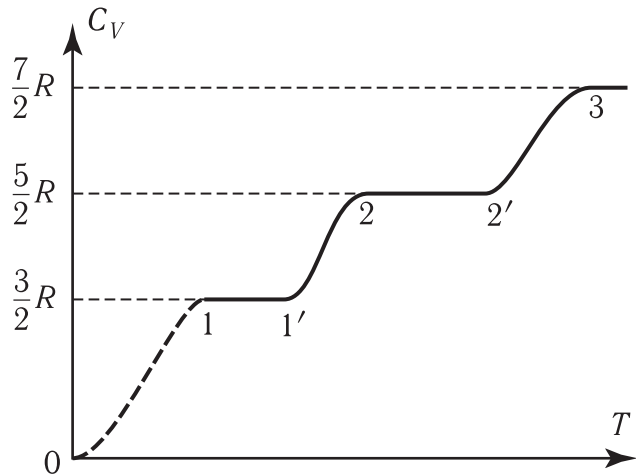


Рис. 19

### 3.9. Круговые процессы (циклы)

*Процесс, при котором система, пройдя через ряд состояний, возвращается в исходное состояние, называется круговым процессом или циклом.*

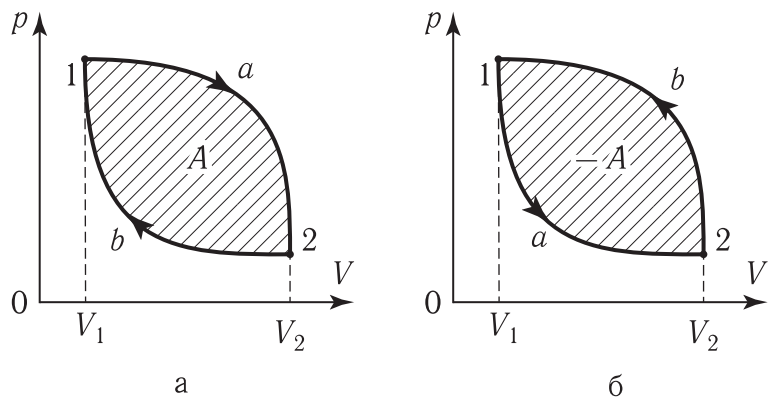


Рис. 20

Цикл можно разбить на процесс расширения 1–2 и сжатия 2–1. Работа расширения, которая определяется площадью фигуры  $1a2V_2V_11$ , положительна, т.к.  $dV > 0$ . Работа сжатия, которая определяется площадью фигуры  $2b1V_1V_22$ , отрицательна, т.к.  $dV < 0$  (рисунок 20а).

Если за цикл совершается положительная работа

$$A = \oint pdV > 0,$$

то он называется прямым (рисунок 20а). Если за цикл совершается отрицательная работа

$$A = \oint pdV < 0,$$

то он называется обратным (рисунок 20б). В случае *обратного цикла* внешние тела совершают над газом положительную работу — работу по сжатию газа  $A'$ . Газ в этом случае совершает отрицательную работу  $A = -A'$ . В результате кругового процесса изменение внутренней энергии газа  $\Delta$  равно нулю. Поэтому ПНТ для кругового процесса:

$$Q = \Delta U + A = A,$$

т.е. работа, совершаемая за цикл, равна количеству полученной извне теплоты. Система может теплоту, как получать, так и отдавать, поэтому

$$A = Q_1 - Q_2,$$

где  $Q_1$  — количество теплоты, полученное системой,  $Q_2$  — количество теплоты, отданное системой. Коэффициент полезного действия для кругового процесса

$$\eta = \frac{A}{Q} = \frac{Q_1 - Q_2}{Q_1} = 1 - \frac{Q_2}{Q_1}. \quad (57)$$

*Термодинамический процесс* называется обратимым, если он может происходить как в *прямом*, так и в *обратном* направлении и при этом система возвращается в исходное состояние.

### 3.10. Цикл Карно

Французский физик и инженер Н. Карно (1796-1832) опубликовал работу, в которой теоретически проанализировал обратимый экономичный цикл, состоящий из двух изотерм и двух адиабат.

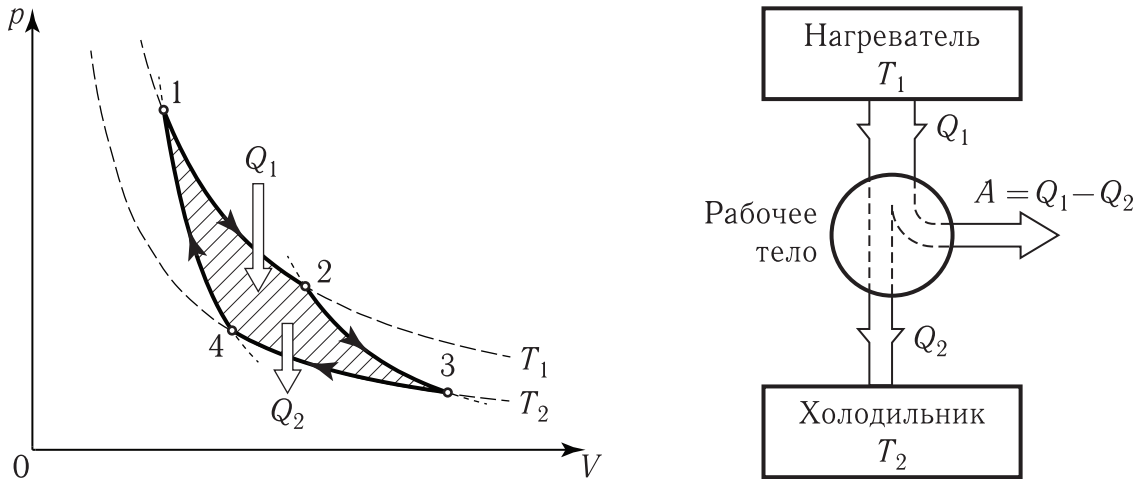


Рис. 21

Цикл Карно изображен на рисунке 21, где изотермическое расширение и сжатие заданы кривыми 1–2 и 3–4, адиабатическое расширение и сжатие — кривыми 2–3 и 4–1.

Определим, согласно (57) КПД цикла Карно

$$\eta = \frac{A}{Q} = \frac{Q_1 - Q_2}{Q_1} = 1 - \frac{Q_2}{Q_1},$$

где  $Q_1$  — количество теплоты, полученное газом от нагревателя, температура которого  $T_1$ ,  $Q_2$  — количество теплоты, отданное газом холодильнику, температура которого  $T_2$ . Было показано:

$$\begin{aligned} Q_1 &= A_{12} = \nu RT_1 \ln(V_2/V_1) \\ Q_2 &= A_{34} = \nu RT_2 \ln(V_3/V_4) \end{aligned}$$

Для того, что бы цикл был замкнут, состояния 4 и 1 должны принадлежать одной и той же адиабате, т.е. выполняется условие:

$$T_1 V_2^{\gamma-1} = T_2 V_4^{\gamma-1},$$

аналогично

$$T_1 V_1^{\gamma-1} = T_2 V_4^{\gamma-1}.$$

Деля эти два соотношения, получим:

$$V_2/V_1 = V_3/V_4.$$

Отсюда:

$$\eta = \frac{Q_1 - Q_2}{Q_1} = \frac{T_1 - T_2}{T_1} = 1 - \frac{T_2}{T_1}, \quad (58)$$

т.е. КПД определяется только температурами нагревателя и холодильника.

### 3.11. Энтропия

*Функцию состояния*  $S$  термодинамической системы, дифференциал которой определяется как  $\delta Q/T = dS$  называют *энтропией* (измеряется в Дж / К). Видно, что  $dS$  и  $\delta Q$  имеют один и тот же знак. Понятие энтропии было введено в 1865 г. Клаузисом.

Для идеального газа произвольной массы  $m$  с учетом формул

$$U = \frac{i}{2}\nu RT = \nu C_V T, \quad C_V = \frac{i}{2}R, \quad p = \frac{\nu RT}{V},$$

( $\nu = m/M$  — число молей) ПНТ ( $\delta Q = dU + \delta A$ ) принимает вид

$$\delta Q = \nu C_V dT + pdV = \nu C_V dT + \nu RT dV/V$$

и тогда

$$dS = \frac{\delta Q}{T} = \nu \left( C_V \frac{dT}{T} + R \frac{dV}{V} \right) = \nu (C_V d \ln T + R d \ln V). \quad (59)$$

Если система переходит из состояния 1, характеризующегося параметрами  $p_1$ ,  $V_1$ ,  $T_1$ , в состояние 2, характеризующееся параметрами  $p_2$ ,  $V_2$ ,  $T_2$ , то изменение энтропии согласно (59)

$$\Delta S = S_2 - S_1 = \int_1^2 dS = \nu \left( C_V d \ln \frac{T_2}{T_1} + R d \ln \frac{V_2}{V_1} \right). \quad (60)$$

Для кругового процесса  $P_2 = P_1$ ,  $V_2 = V_1$ ,  $T_2 = T_1$ , из (60) следует, что

$$\oint dS = \oint \frac{\delta Q}{T} \equiv 0, \quad (61)$$

т.е. действительно  $dS = Q/T$  является полным дифференциалом (не зависит от пути интегрирования) функции состояния  $S$  — энтропии.

1. Отношения  $(T_2/T_1)$  и  $(V_2/V_1)$  определяют знак слагаемых.
2. При изотермическом процессе  $\Delta S = \nu [R \ln (V_2/V_1)]$ .
3. При изохорическом процессе  $\Delta S = \nu [C_V \ln (T_2/T_1)]$ .
4. Для адиабатического процесса  $\delta Q = TdS = 0$ , то  $dS = 0$  и  $S = \text{const}$ .

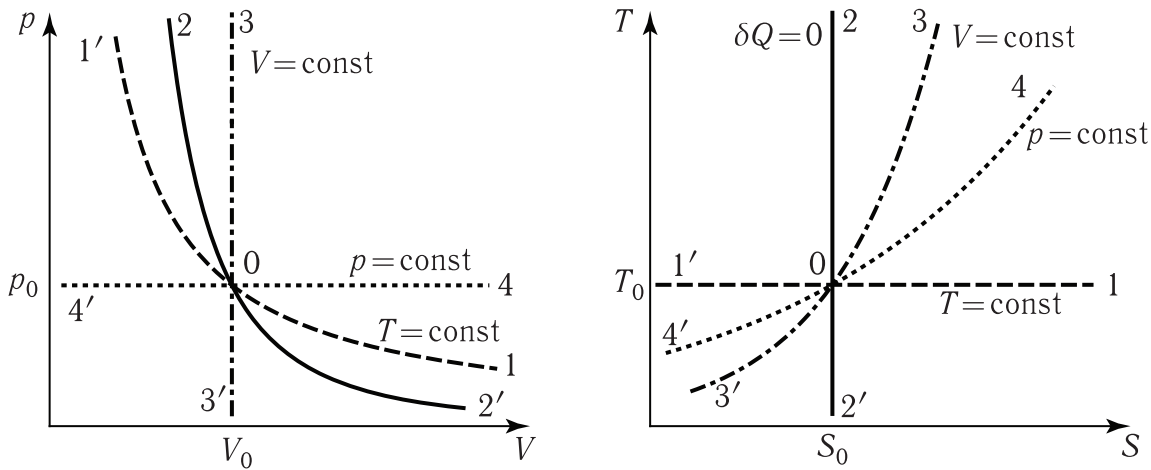


Рис. 22

Формула (60) позволяет построить термодинамические диаграммы в координатах  $T - S$ . Пусть точка 0 изображает начальное состояние идеального газа, тогда прямая  $1 - 1'$  соответствует изотермическому процессу ( $0 - 1$  — расширение,  $0 - 1'$  — сжатие). Прямая  $2 - 2'$  соответствует адиабатическому (изоэнтропийному) процессу ( $0 - 2$  — сжатие,  $1 - 2'$  — расширение). Изохорный процесс изображен линией  $3 - 3'$  ( $0 - 3$  — нагревание,  $0 - 3'$  — охлаждение). Изобарический процесс изображен линией  $4 - 4'$ , идущей положе изохоры  $3 - 3'$  ( $0 - 4$  — расширение,  $0 - 4'$  — сжатие).

### 3.12. Статистическое представление энтропии

С кинетической точки зрения энтропию можно определить как меру неупорядоченности системы. Охлаждая систему (например, газ) при постоянном объеме, мы непрерывно извлекаем из нее тепло и, следовательно, энтропию, т.е.  $\delta Q < 0$  и  $dS < 0$ . При этом тепловое движение становится все менее интенсивным и упорядоченность системы повышается. Когда газ конденсируется, молекулы занимают

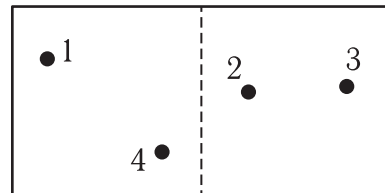
более определенные положения. Молекулы в кристалле занимают вполне определенные положения. Тогда при отвердевании выделяется *тепло*, и энтропия также убывает скачком. При *абсолютном нуле* тепловое движение прекращается. Следовательно, *неупорядоченность* будет также равна нулю и энтропию всех веществ при  $T = 0$  принимают равной нулю.

Утверждение: энтропия всех тел в состоянии равновесия стремится к нулю по мере приближения температуры к нулю Кельвина, т.е.

$$\lim_{T \rightarrow 0} S = 0$$

называют *теоремой Нернста* (1906 г.).

Более глубокий смысл энтропии вскрывается в статистической физике: энтропия связывается с термодинамической вероятностью состояния системы. Термодинамическая вероятность  $\Omega$  состояния системы — это число способов, которыми может быть реализовано данное состояние макроскопической системы или число микросостояний, осуществляющих данное макросостояние.



Состояние		Способы реализации состояния		Число способов реализации данного состояния ( $\Omega$ )
число молекул слева	число молекул справа	№ молекул, находящихся слева	№ молекул, находящихся справа	
0	4	—	1, 2, 3, 4	1
1	3	1	2, 3, 4	4
		2	1, 3, 4	
		3	1, 2, 4	
		4	1, 2, 3	
2	2	1, 2	3, 4	6
		1, 3	2, 4	
		1, 4	2, 3	
		2, 3	1, 4	
		2, 4	1, 3	
		3, 4	1, 2	
3	1	1, 2, 3	4	4
		1, 2, 4	3	
		1, 3, 4	2	
		2, 3, 4	1	
4	0	1, 2, 3, 4	—	1
Всего способов			$2^4 = 16$	

Макро-состояние моля кислорода, соответствующее  $p = 1$  физической атмосфере и  $T = 300$  К, может быть осуществлено числом микросостояний  $\Omega = 10^{6,3 \cdot 10^{24}}$ .

Больцман в 1872 г. показал, что энтропия системы и термодинамическая вероятность связаны между собой следующей формулой

$$S = k \ln \Omega, \quad (62)$$

где  $k$  — постоянная Больцмана. Для выше приведенного примера  $S = 200$  Дж/К.

### 3.13. Термодинамические потенциалы

Расчеты в термодинамике основываются на использовании *функций состояния*, называемых *термодинамическими потенциалами*. Изменения потенциалов, происходящие в ходе каких либо процессов, определяют либо совершающую системой работу, либо получаемое системой тепло.

Исходя из определения энтропии (для равновесных процессов)  $dS = \delta Q/T$  будем рассматривать соотношение

$$\delta Q = TdS.$$

**Внутренняя энергия.** Выражение первого начала Т.Д. ( $\delta Q = dU + \delta A$ ) можно представить в виде:

$$TdS = dU + pdV$$

или

$$dU = TdS - pdV.$$

*Адиабатический процесс:*  $\delta Q = 0, dU = -pdV$ .

*Изохорический процесс:*  $dV = 0, dU = TdS$ .

**Свободная энергия.** Работа при изотермическом процессе ( $T = \text{const}$ ), тогда  $TdS = d(TS)$

$$\begin{aligned} dA &= \delta Q - dU = -dU + TdS = -d(U - TdS), \\ F &= U - TdS. \end{aligned} \quad (63)$$

**Энтальпия.** Изобарический процесс — тогда

$$\begin{aligned} \delta Q &= dU + dA = dU + pdV = dU + d(pV) = d(U + PV), \\ H &= U + pV. \end{aligned} \quad (64)$$

**Термодинамический потенциал Гиббса.**

$$G = H - TS = U + pV - TS. \quad (65)$$

### **3.14. Второе начало термодинамики (ВНТ)**

Второе начало термодинамики (ВНТ) в отличие от ПНТ справедливо только по отношению к термодинамическим системам.

*Невозможен процесс, единственным результатом которого является передача теплоты от холодного тела к горячему* (Клаузиус, 1850 г.).

Соответственно этой формулировке была доказана невозможность вечного двигателя второго рода, который целиком превращал бы в работу теплоту, извлекаемую из окружающих тел.

*Энтропия изолированной системы не может убывать при любых происходящих в ней процессах*, т.е.  $dS \geq 0$ , где знак равенства относится к обратимым процессам, а знак больше — к необратимым процессам (Клаузиус, 1865 г.)

или: *при реальных (необратимых) адиабатических процессах  $dS > 0$ , т.е. энтропия возрастает, достигая максимального значения в состоянии равновесия.*

Формула Больцмана  $S = k \ln W$  позволяет дать статистическое истолкование третьей формулировки ВНТ: Термодинамическая вероятность состояния изолированной системы при всех происходящих в ней процессах не может убывать.

### **3.15. Силы и потенциальная энергия межмолекулярных взаимодействий**

Свойства *реальных газов* при высоких давлениях и низких температурах отличаются от свойств *идеальных газов*. Основная причина этого отличия заключается в том, что молекулы взаимодействуют друг с другом.

Радиус взаимодействия  $r_{\text{вз}}$ , который определяет некоторое расстояние, на котором еще можно считать молекулы взаимодействующими (например,  $r_{\text{вз}} = 2r_0$ ). При  $r \gg r_{\text{вз}}$  можно утверждать, что молекулы не взаимодействуют.

Газ характеризуется тем, что среднее расстояние между молекулами  $r_{\text{ср}} \gg r_{\text{вз}}$ . В газе молекулы между соударениями двигаются, не испытывая никаких сил, прямошлинейно и равномерно. Силы действуют на них лишь в момент соударения.

Если молекулы находятся на расстоянии  $r$ , сравнимом с  $r_0$ , то молекулы действуют друг на друга с некоторой силой. Зависимость потенциальной энергии  $W_{\text{п}}$  взаимодействия двух молекул от расстояния между ними  $r$  представлена на рисунке 23а.

При  $r = r_0$  энергия имеет минимум, следовательно, при  $r = r_0$  две взаимодействующие молекулы находятся в положении устойчивого равновесия. При  $r < r_0$  молекулы отталкиваются, а при  $r > r_0$  — притягиваются.

Зависимость силы взаимодействия между молекулами  $F(r) = -dW_{\text{п}}/dr$  от расстояния между ними представлена на рисунке 23б.

### **3.16. Уравнение Ван-дер-Ваальса**

Ван-дер-Ваальс (1873 г) внес в уравнение Клапейрона-Менделеева  $pV = RT$  две поправки.

Первая поправка связана с действием сил *отталкивания* между молекулами и учитывает собственный объем молекулы  $V_0$ . Объем сосуда  $V$  заменяют свободным

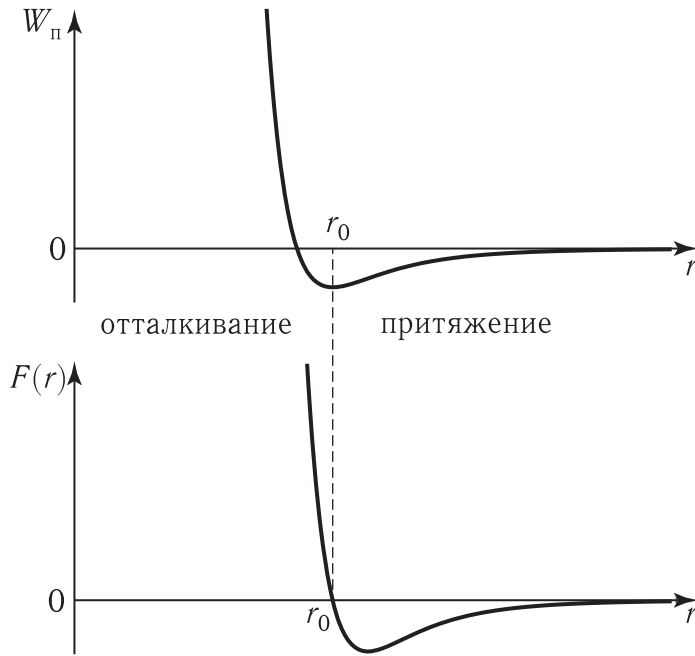


Рис. 23

объемом  $V - b$ , где  $b = 4V_0N_A$ . Для одного моля

$$p = \frac{RT}{V - b}. \quad (66)$$

Вторая поправка — в поверхностном слое вблизи стенки сосуда на молекулу, подлетающую к стенке, действует сила притяжения со стороны остальных молекул газа.  $p = nkT$ ;  $\Delta P \sim (N_A/V)^2$ :

$$p = \frac{RT}{V - b} - \frac{a}{V^2},$$

или

$$\left(p + \frac{a}{V^2}\right)(V - b) = RT. \quad (67)$$

Уравнение (67) — уравнение Ван-дер-Ваальса для одного моля газа,  $a$  и  $b$  — постоянные, зависящие только от вида газа.

Для произвольной массы газа уравнение Ван-дер-Ваальса

$$\left(p + \frac{\nu^2 a}{V^2}\right)(V - \nu b) = \nu RT, \quad (68)$$

где  $\nu = m/M$  — число молей газа,  $m$  — масса газа,  $M$  — масса моля.

Для значений  $p$  и  $T$  уравнение (67) — уравнение третьей степени относительно  $V$  и оно может иметь либо три вещественных корня ( $V_1, V_2, V_3$ ), либо один вещественный корень ( $V_1$ ) и два комплексно-сопряженных корня (рисунок 24).

Рассмотрим подробнее рисунок 24.  $ABCDEF$  — левая, круто спадающая часть ее  $AB$  соответствует жидкому состоянию, правая пологая часть  $FG$  — газообразному. Переход из жидкого состояния в газообразное и обратно при обычных условиях

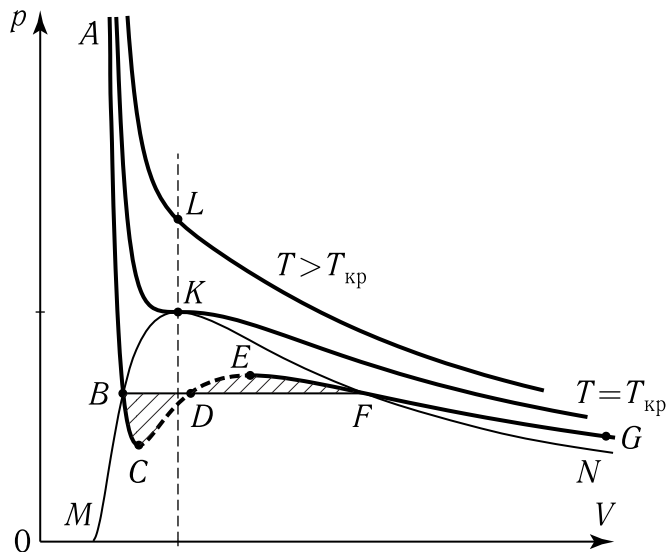


Рис. 24

происходит не вдоль участка  $BCDEF$ , а вдоль изобары  $BF$ , которая одновременно является и *реальной* изотермой.

Таким изобарам-изотермам  $BF$  соответствуют двухфазные состояния вещества — *жидкость + газ* (пар). Ветви  $BC$  и  $EF$  изображают метастабильные состояния вещества: *перегретую жидкость* и *пересыщенный пар* и могут быть осуществлены при определенных условиях.

С ростом температуры в точке К исчезают различия между жидкой и газообразной фазой (*однородная среда*).

Область, ограниченная сверху изотермой К и справа линией КВМ соответствует жидкой фазе. Область, ограниченная сверху кривой  $MBKN$ , соответствует жидкой и газообразной фазе (*жидкость + пар*) и область, расположенная правее линии  $HKFN$ , соответствует газообразной фазе.

При  $T \gg T_{\text{кр}}$  и относительно малых давлениях реальные газы ведут себя как идеальные газы.

### 3.17. Реальные изотермы

На рисунке 25 показан вид экспериментально полученных изотерм, характерный для многих веществ.

При  $V > V_1$  экспериментальная изотерма монотонно растет с уменьшением объема, что соответствует сжатию реального газа при постоянной температуре. Горизонтальный участок  $V_1 - V_2$  соответствует сжижению газа, которое при заданной температуре происходит при постоянном давлении. При этом существует двухфазная система жидкость–газ. Наконец, при  $V < V_2$  изотерма вновь становится монотонно убывающей функцией, что соответствует сжатию жидкости. При этом давление очень резко растет с уменьшением объема. Это связано с тем, что размеры молекул жидкостей становятся сравнимы с межмолекулярными расстояниями.

Совокупность участков изотерм реального газа, соответствующих двухфазным системам жидкость–газ, образуют колоколообразную фигуру, вершиной которой яв-

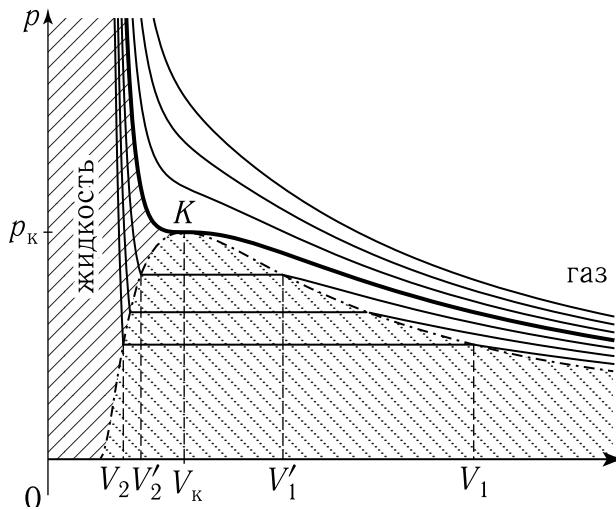


Рис. 25

ляется критическая точка  $K$ . При температурах выше критической вещество может существовать только в газообразном состоянии. При температуре ниже критической, вещество может быть сжижено.

### 3.18. Эффект Джоуля–Томсона

Изменение температуры реального газа в результате его адиабатического расширения, или, как говорят, *адиабатического дросселирования* — медленного прохождения газа под действием перепада давления сквозь дроссель (например, пористую перегородку), называется эффектом Джоуля–Томсона.

Эффект свидетельствует о наличии в газе сил межмолекулярного взаимодействия (обнаружение этих сил было целью опытов Джоуля и Томсона). При наличии сил притяжения молекул энергия газа включает как кинетическую энергию молекул, так и потенциальную энергию их взаимодействия. Адиабатическое расширение газа приводит к росту потенциальной энергии взаимодействия молекул (расстояния между ними увеличиваются) за счёт кинетической. В результате тепловое движение молекул замедлится, температура расширяющегося газа будет понижаться.

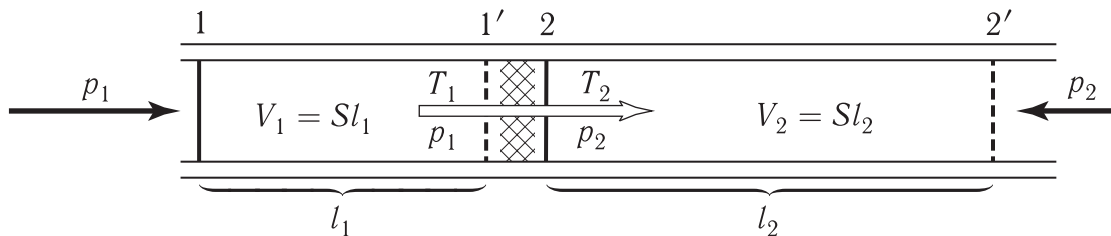


Рис. 26

$$\Delta T = T_2 - T_1 = \frac{1}{C_V + R} \left( \frac{RT_1 b}{V_1 - b} - \frac{2a}{V_1} \right). \quad (69)$$

Эффект Джоуля–Томсона принято называть положительным, если газ в процессе дросселирования охлаждается ( $\Delta T < 0$ ), и отрицательным, если газ нагревается ( $\Delta T > 0$ ).

При больших перепадах давления на дросселе температура газа изменяется весьма значительно. Так, при дросселировании от 20 да 0,1 МПа и начальной температуре 17 °C С воздух охлаждается на 35 °C. Данный эффект является одним из методов получения низких температур (сжижения газов).

## 4. Фазы и фазовые переходы

Фазой называется совокупность частей системы одинаковых по всем физическим, химическим свойствам (твердая, жидккая и газообразная фазы).

Фазовый переход (фазовое превращение) — переход вещества из одной фазы в другую или скачкообразное изменение физических свойств при изменении внешних условий ( $T$ ,  $p$ , магнитных и электрических полей и т.д.).

Фазовый переход I рода: испарение и конденсация, плавление и затвердевание, сублимация или возгонка. Фазовые переходы I рода сопровождаются выделением или поглощением теплоты (теплоты фазового перехода  $q$ ), при этом скачком изменяются плотность, концентрация компонентов, молярный объем и т.д.

Фазовый переход II рода не сопровождается выделением или поглощением теплоты, плотность изменяется непрерывно, а скачком изменяется, например, молярная теплоемкость, удельная электрическая проводимость, вязкость и др.

Примерами фазовых переходов II рода могут служить переход магнитного вещества из ферромагнитного состояния ( $\mu \gg 1$ ) в парамагнитное ( $\mu \approx 1$ ) при нагреве до определенной температуры, называемой точкой Кюри; переход некоторых металлов и сплавов при низких температурах из нормального состояния в сверхпроводящее состояние.

### 4.1. Испарение и конденсация

Переход жидкости в газообразное состояние называется испарением, а переход твердого тела в газообразное состояние носит название сублимации.

При испарении и сублимации тело покидают наиболее быстрые молекулы, вследствие чего средняя энергия оставшихся молекул уменьшается и тело охлаждается.

Чтобы поддерживать температуру испаряющегося (или сублимирующегося) тела неизменной, к нему нужно непрерывно подводить тепло. Тепло  $q$ , которое необходимо сообщить единице массы вещества для того, чтобы превратить ее в пар, ( $T = \text{const}$ , температура остается той же, что и до испарения) называется *удельной теплотой испарения* (или сублимации).

Процесс, обратный испарению (сублимации) носит название конденсации. При конденсации тепло, затраченное при испарении, отдается обратно: образующаяся при конденсации жидкость (или твердое тело) нагревается.

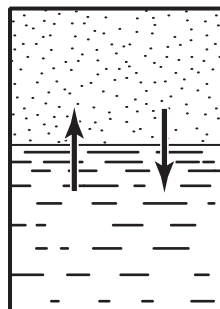


Рис. 27

Рассмотрим герметический сосуд, частично заполненный жидкостью. Из-за испарения пространство над жидкостью станет наполняться молекулами. Вследствие хаотичного движения и столкновений молекул, часть молекул вернется обратно в жидкость. При достижении некоторого, определенного для данной температуры, давления количество молекул, покидающих жидкость и возвращающихся в нее, станет равным — *подвижное равновесие*. Пар, находящийся в равновесии со своей жидкостью — *насыщенный*. *Давление насыщенного пара* — давление, при котором наблюдается равновесие.

## 4.2. Фазовые диаграммы. Тройная точка

Разные фазы одного и того же вещества могут находиться в равновесии, соприкасаясь, друг с другом. Для фазовых превращений используются *фазовые диаграммы состояний*, на которых в координатах  $p$ ,  $T$  задается зависимость между температурой фазового перехода и давлением.

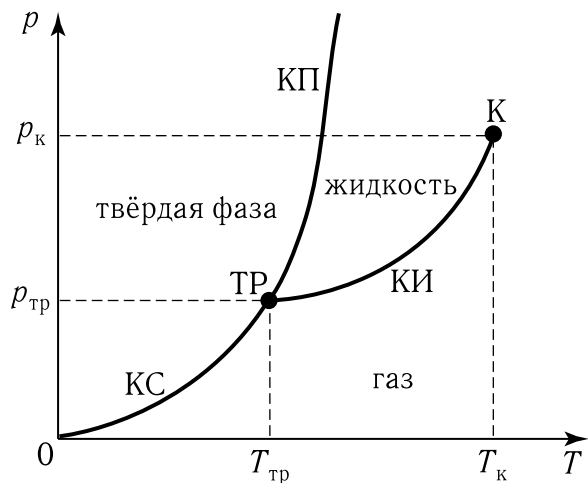


Рис. 28

Три фазы одного и того же вещества (твердая, жидкая и газообразная) могут находиться в равновесии только при единственном значении температуры  $T_{\text{тр}}$  и давлении  $p_{\text{тр}}$ . Эту точку называют тройной (**TP**).

**Кривая испарения (КИ)** — определяет условия равновесия между жидкой и газообразной фазами (например, между водой и водяным паром).

**Кривая плавления (КП)** — определяет условия равновесия между твердой и жидкой фазами (например, между льдом и водой).

**Кривая сублимации (КС)** — определяет условия равновесия между твердой и газообразной фазами (например, между льдом и водяным паром).

Каждое вещество имеет только одну тройную точку. Тройная точка воды имеет  $T_{\text{тр}} = 273,16 \text{ К}$  (или  $t_{\text{тр}} = 0,01 \text{ }^{\circ}\text{C}$ ) и  $p_{\text{тр}} = 611 \text{ Па}$ . При такой температуре и давлении вода, лед и водяной пар находятся в равновесии.

### 4.3. Кристаллическое состояние

Основной особенностью кристаллов, отличающих их от жидкостей и аморфных твердых тел, является периодичность пространственного расположения частиц (атомов, молекул или ионов), из которых состоит кристалл. Совокупность таких периодически расположенных частиц образует периодическую структуру, называемую *кристаллической решеткой*. Точки, в которых расположены сами частицы, называются узлами кристаллической решетки.

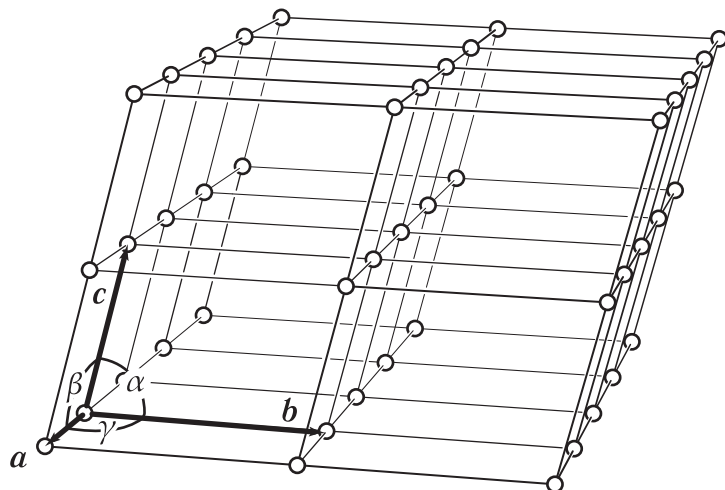


Рис. 29

Всякая кристаллическая решетка может быть составлена повторением в трех различных направлениях одного и того же структурного элемента — *элементарной ячейки*. Она представляет собой параллелепипед, построенный на ребрах  $a$ ,  $b$ ,  $c$  с углами  $\alpha$ ,  $\beta$ ,  $\gamma$  между ребрами.

*Симметрия* — свойство ячейки (решетки) совпадать сама с собой при некоторых пространственных перемещениях. Ось симметрии  $n$ -го порядка, если решетка совпадает сама с собой при повороте на угол  $2\pi/n$ .

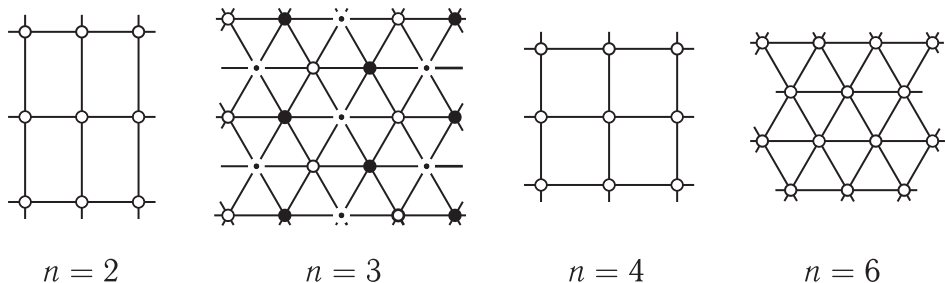


Рис. 30

В зависимости от формы элементарной ячейки все *кристаллы* делятся на 7 *систем (сингоний)*:

триклиновая	$a \neq b \neq c; \alpha \neq \beta \neq \gamma$
монохлиновая	$a \neq b \neq c; \alpha = \beta = 90^\circ, \gamma \neq 90^\circ$
ромбическая	$a \neq b \neq c; \alpha = \beta = \gamma = 90^\circ$
тетрагональная	$a = b \neq c; \alpha = \beta = \gamma = 90^\circ$
ромбоэдрическая	$a = b = c; \alpha = \beta = \gamma \neq 90^\circ$
гексагональная	$a = b \neq c; \alpha = \beta = 90^\circ, \gamma = 120^\circ$
кубическая	$a = b = c; \alpha = \beta = \gamma = 90^\circ$

#### 4.4. Физические типы кристаллов

В зависимости от природы частиц, расположенных в узлах кристаллической решетки и от характера сил взаимодействия между частицами, различают 4 *физических типа* кристалла:

*Ионные* кристаллы, например, NaCl. В узлах кристаллической решетки находятся ионы разных знаков. Связь между ионами обусловлена силами кулоновского *притяжения* и называется такая связь гетерополярной.

*Атомные* кристаллы, например, C (алмаз), Ge, Si. В узлах решетки находятся нейтральные атомы, удерживающиеся там благодаря ковалентным связям, возникающим за счет обменных сил, имеющих чисто квантовый характер.

*Металлические* кристаллы. В узлах кристаллической решётки располагаются положительные ионы металла. Валентные электроны в металлах слабо связаны со своими атомами, они свободно перемещаются по всему объёму кристалла, образуя так называемый «электронный газ». Он связывает между собой положительно заряженные ионы.

*Молекулярные* кристаллы, например, нафталин, CO<sub>2</sub> — в твёрдом состоянии (сухой лёд). Они состоят из молекул, связанных между собой силами Ван-дер-Ваальса, т.е. силами взаимодействия индуцированных молекулярных электрических диполей.

#### 4.5. Тепловое движение кристаллов

Простейшей моделью кристалла является правильно построенная кристаллическая решетка, в узлах которой помещаются атомы (или ионы, молекулы), принимаемые за материальные точки. Атом совершает тепловые колебания около положения равновесия, интенсивность колебаний (амплитуда) растет с ростом температуры.

Если колебания малы, то они будут гармоническими. Энергия каждого атома слагается из потенциальной  $W_p$  и кинетической  $W_k$ . Известно, что в случае гармонических колебаний при усреднении

$$\langle W_k \rangle = \langle W_p \rangle = \frac{1}{4}kA^2. \quad (70)$$

Взаимодействие между частицами в кристалле может быть представлено потенциальной кривой (рисунок 31).



Рис. 31

#### 4.6. Теплоемкость кристаллов. Закон Дюлонга и Пти

Известно, что на каждую степень свободы приходится в среднем кинетическая энергия  $(1/2)kT$ . Атом имеет 3 степени свободы (колебательные), поэтому

$$\langle W_k \rangle = \langle W_{\text{п}} \rangle = \frac{3}{2}kT.$$

Средняя энергия атома

$$\langle E \rangle = \langle W_k \rangle + \langle W_{\text{п}} \rangle = 3kT.$$

Умножив эту величину на постоянную Авогадро  $N_A$  (число атомов в моле вещества), найдем внутреннюю энергию моля твердого тела

$$U = 3kTN_A = 3RT, \quad (71)$$

где  $R = kN_A = 8,31 \text{ Дж/(моль} \cdot \text{К)}$  — универсальная газовая постоянная. Отсюда молярная теплоемкость твердого тела

$$C = \frac{dU}{dT} = 3R \approx 25 \text{ Дж/(моль} \cdot \text{К)} . \quad (72)$$

Этот закон был эмпирически установлен Дюлонгом и Пти: *Молярная теплоемкость твердого тела равна  $3R$ , т.е.*

$$C = 3R. \quad (73)$$

Опыт показал, что,  $C$  зависит от температуры и близи нуля 0 К для всех веществ  $C \approx T^3$ . На рисунке 32 представлена экспериментально полученная зависимость  $C$  от  $T$ .

Расхождение опытных и теоретических значений теплоёмкостей объяснили, исходя из квантовой теории теплоёмкости, Эйнштейн и Дебай.

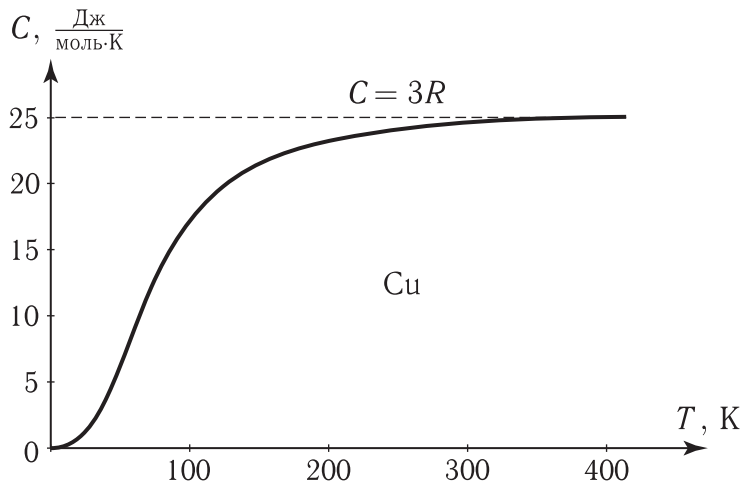


Рис. 32

#### 4.7. Механизм теплопроводности в кристаллах

Различают два вида теплопроводности:

*Решеточная теплопроводность* — колебания атомов передаются соседним атомам. При этом образуется волна, которая и переносит энергию колебаний.

*Электронная теплопроводность* — реализуется за счет свободных электронов и играет главную роль при высоких и сверхнизких температурах.

Последняя описывается так же, как и для идеального газа:

Количество теплоты  $\delta Q$ , которое переносится вследствие теплопроводности через площадку  $dS_{\perp}$  за время  $dt$ , определяется

$$\delta Q = \chi \frac{dT}{dx} dS_{\perp} dt,$$

где  $dT/dx$  характеризует скорость изменения температуры Т на единицу длины x,  $\chi$  — коэффициент теплопроводности. Знак минус указывает, что при теплопроводности перенос внутренней энергии происходит в направлении убывания температуры, т. е. вдоль оси  $OX$ , если  $T_1 > T_2$  ( $dT/dx < 0$ ).

Можно показать, что

$$\chi = \frac{1}{3} v_{\text{зв}} \lambda C_V \rho,$$

где  $C_V$  — изохорическая теплоемкость,  $\rho$  — плотность,  $v_{\text{зв}}$  — скорость звука в кристалле,  $\lambda$  — длина свободного пробега электрона.

## 4.8. Строение жидкостей

Согласно рентгенографическим исследованиям, в отношении расположения частиц жидкостей наблюдается ближний порядок.

Количественной характеристикой упорядоченности является радиальная функция распределения  $g(r)$ , которая характеризует распределение частиц вблизи произвольно выбранной частицы. (Расстояние до первого пика определяет среднее межатомное расстояние).

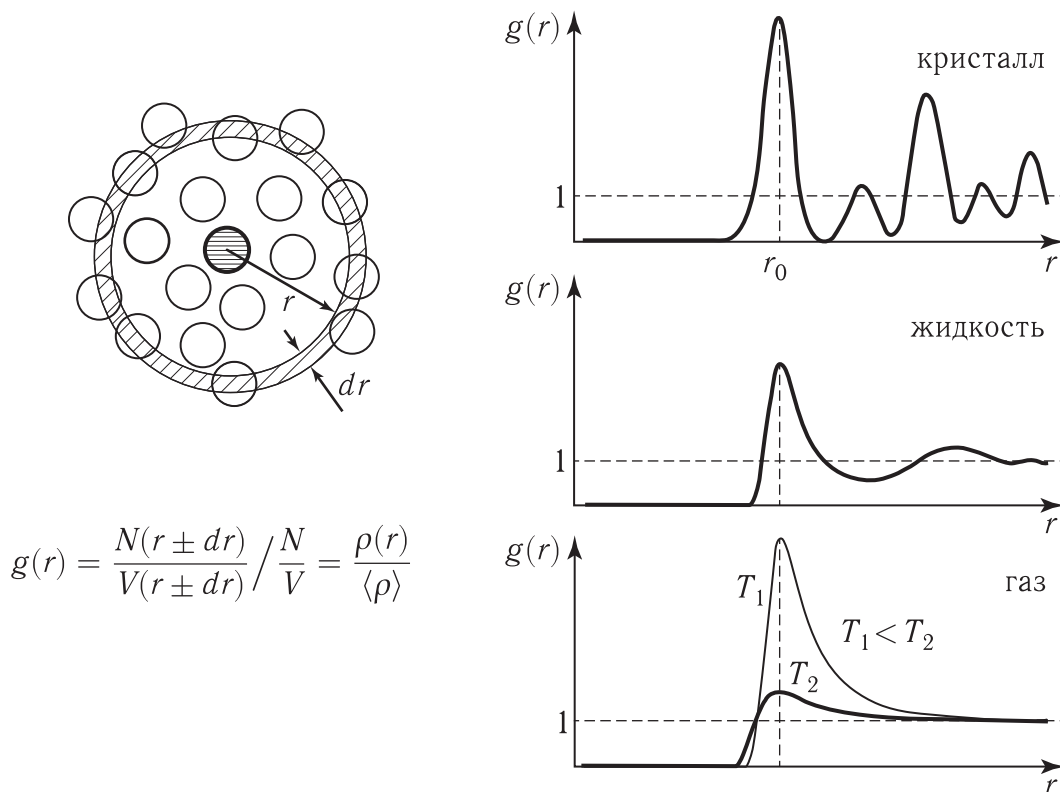


Рис. 33

#### 4.9. Жидкие кристаллы – мезофаза

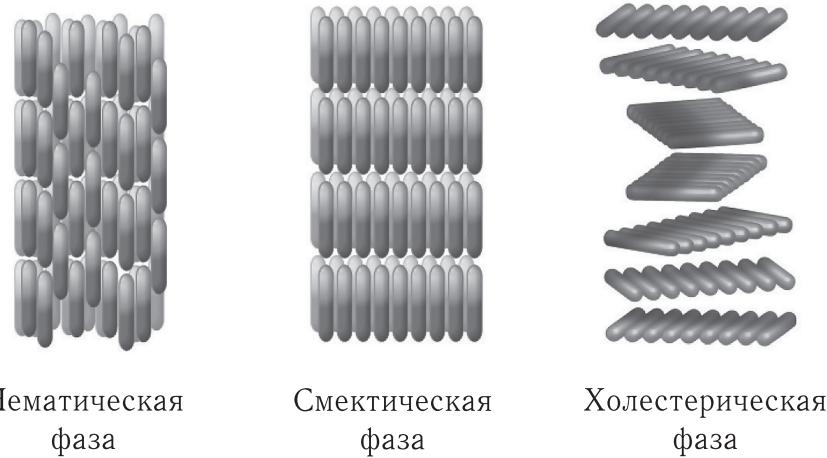


Рис. 34